

The background of the slide features three identical, stylized, metallic-looking wing-like shapes hanging vertically. Each shape has a complex, organic form with a serrated edge and a central vein-like structure. They are rendered with a metallic sheen, showing highlights and shadows that give them a three-dimensional appearance. The background is a dark, textured gray.

INFSI 350

Textures par le bruit en informatique graphique

Axel Schumacher
Bertrand Chazot
Samuel Mokrani

13 avril 2012

<http://www-sop.inria.fr/reves/Basilic/2011/LD11/>

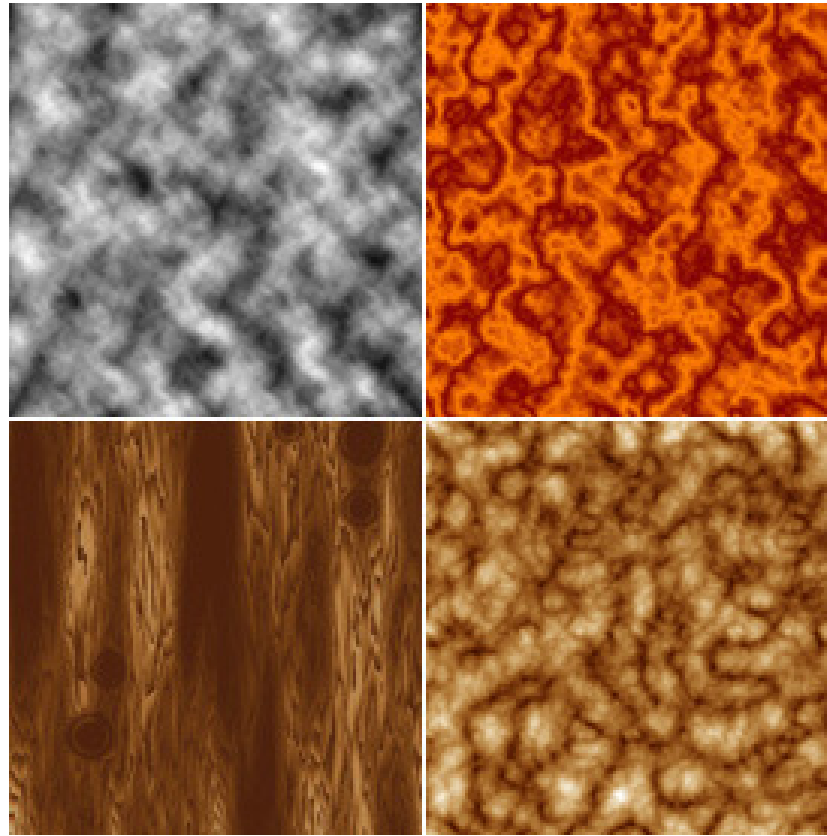
Plan

1. Généralités
2. Bruit de Perlin
3. Bruit par ondelettes (Wavelet Noise)
4. Bruit de Gabor
5. Conclusion
6. Démo

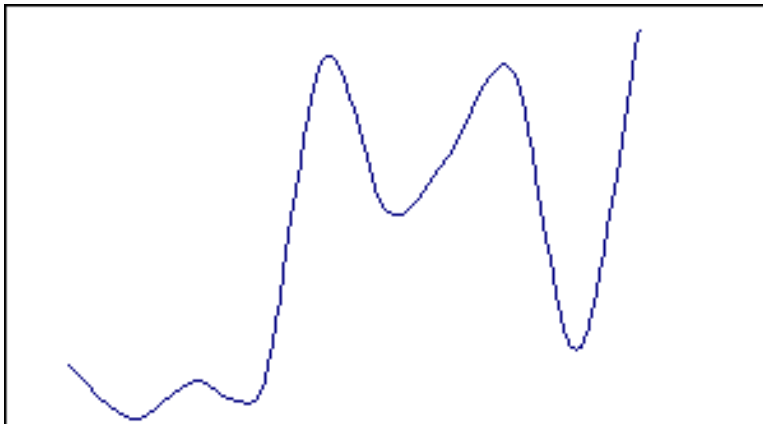
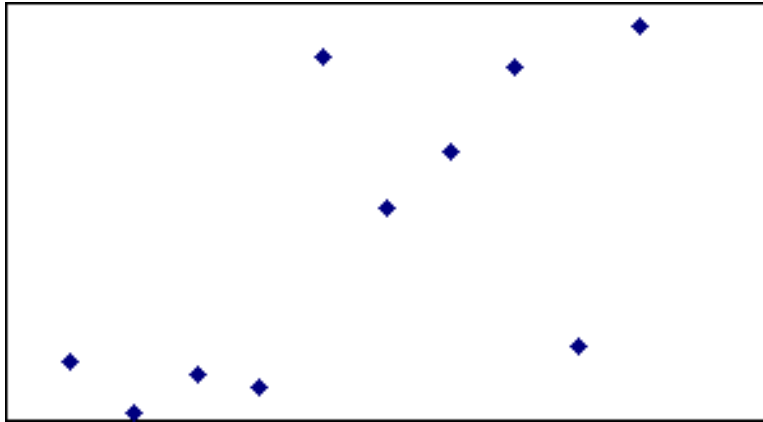
Texture par le bruit

- Essentiel pour générer des textures naturelles (bois, pierre, métal, ...)
- Texture procédurale:
 - gain en place mémoire
 - pas besoin de plaquer

Bruit de Perlin (1985)



Génération d'un bruit et interpolation



- Bruit sur un nombre fini de points
- Interpolation:
 - linéaire
 - cosinusoïdale
 - cubique
- Se généralise en 2D, 3D, ...

Construction du bruit de Perlin

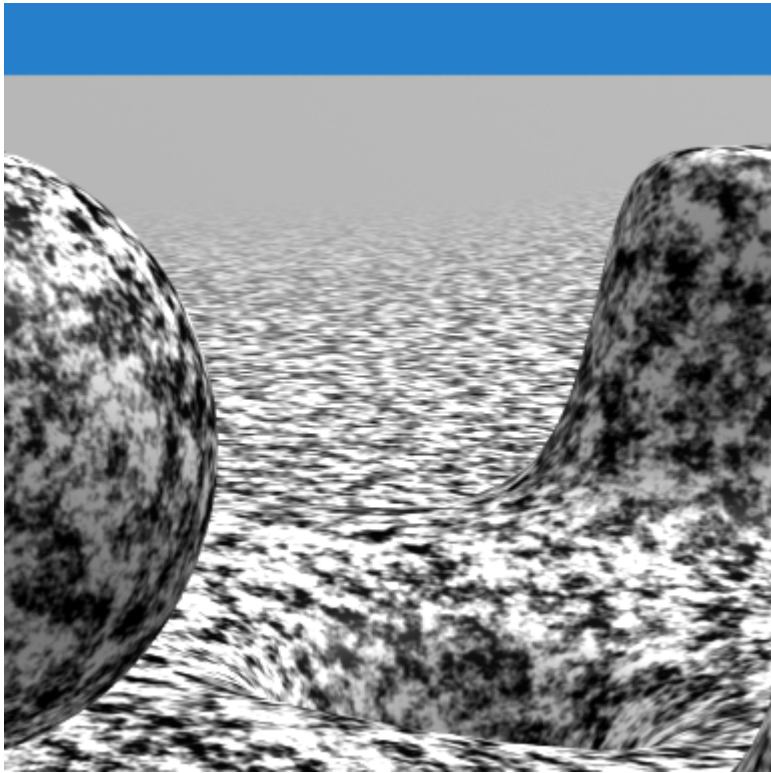
- Sommer différentes fonctions de bruit:
 - Variation du "pas"
 - Variation de l'amplitude

$$Perlin(x) = \sum_i p^i * interpolatedNoise(2^i * x)$$

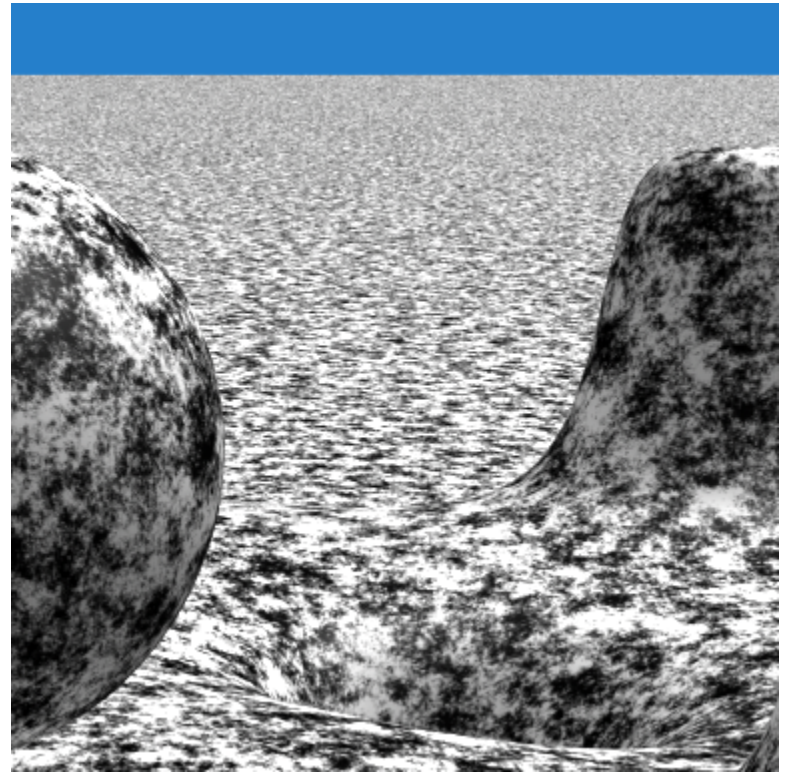
- Le pas est multiplié par deux
 - bruit de moins en moins cohérent
 - nécessite de diminuer la persistance $0 < p < 1$



Wavelet (2005)

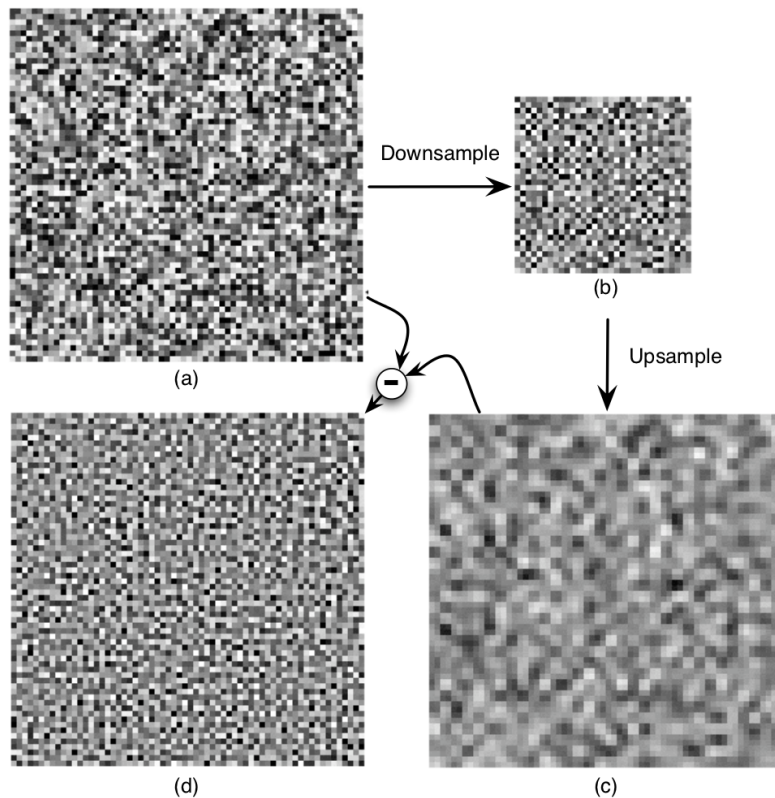


Bruit de Perlin



Wavelet

Création du bruit



$$M(x) = \sum_{b=b_{min}}^{b_{max}} w_b N(2^b x)$$

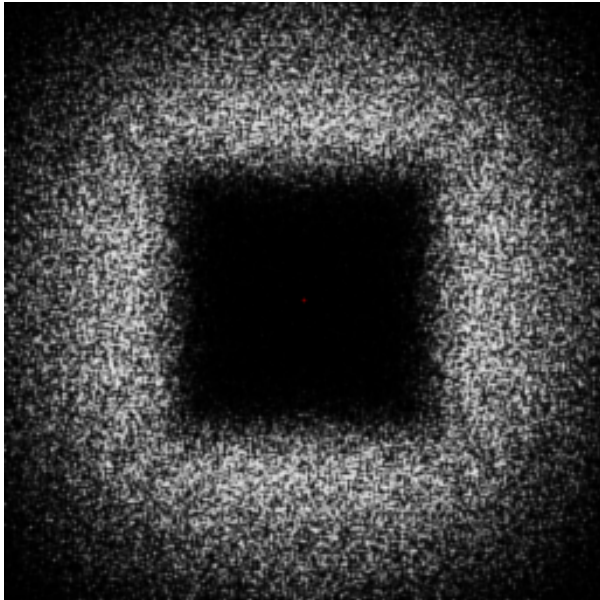
$$Pixel(i) = \int M(2^s(x - k)) K(x - i) dx$$

$$Pixel(i) = \sum_{j=b_{min}+s}^{b_{max}+s} w_{j-s} \int N(2^j x - l) K(x - i) dx$$

- Pour $j \geq 0$, et pour tout l

$$\int N(2^j x - l) K(x - i) dx = 0$$

Propriétés du bruit

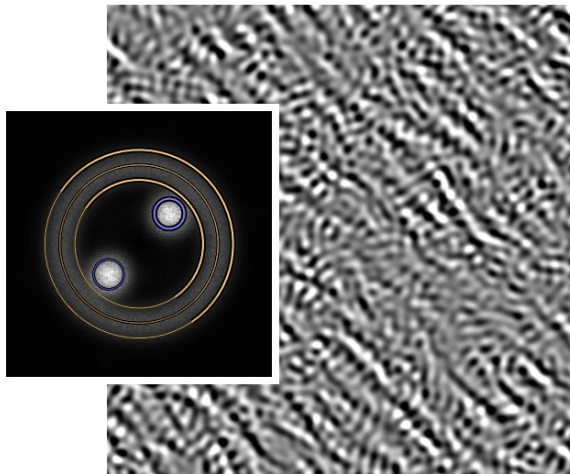


- Élimination des hautes fréquences créant de l'aliasing (orthogonalité)
- Élimination des basses fréquences pour éliminer les motifs

Surface 2D et bruit 3D

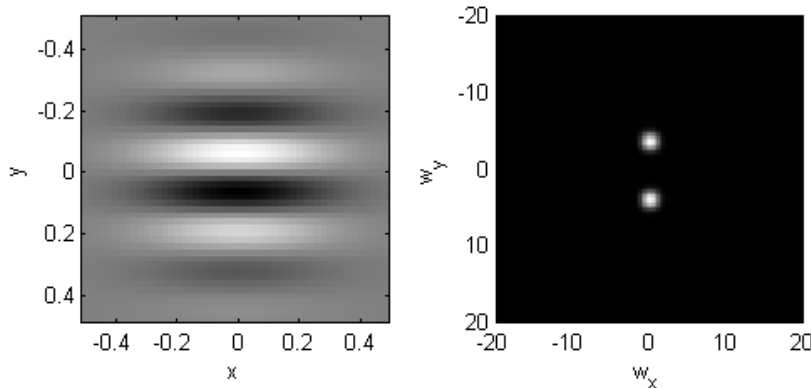
- Coupe 2D dans bruit 3D limité en bande :
pas limité en bande (Lewis 1989)
- On intègre sur la normale du vertex
- Bruit non évalué dans tout l'espace (coûteux)
 - pavage avec une/des tuile(s)

Bruit de Gabor (2009)



Le noyau de Gabor

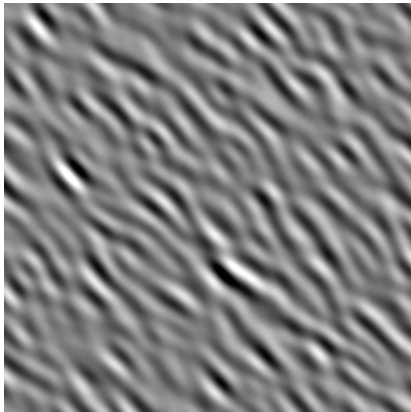
$$g(x, y) = K e^{-\pi a^2(x^2 + y^2)} \cos(2\pi F_0(x \cos \omega_0 + y \sin \omega_0))$$



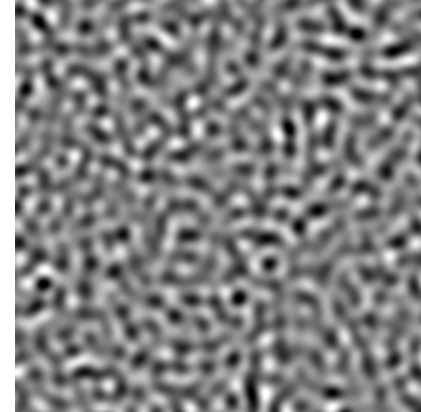
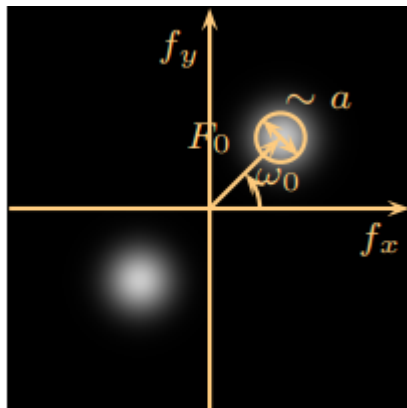
- Gaussienne modulée par un cosinus
- Paramètres intuitifs

$$N(x, y) = \left[g * \sum_i w_i \delta_i(x_i, y_i) \right] (x, y)$$

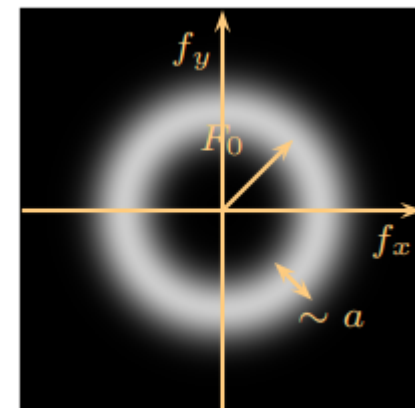
Bruit anisotrope et isotrope



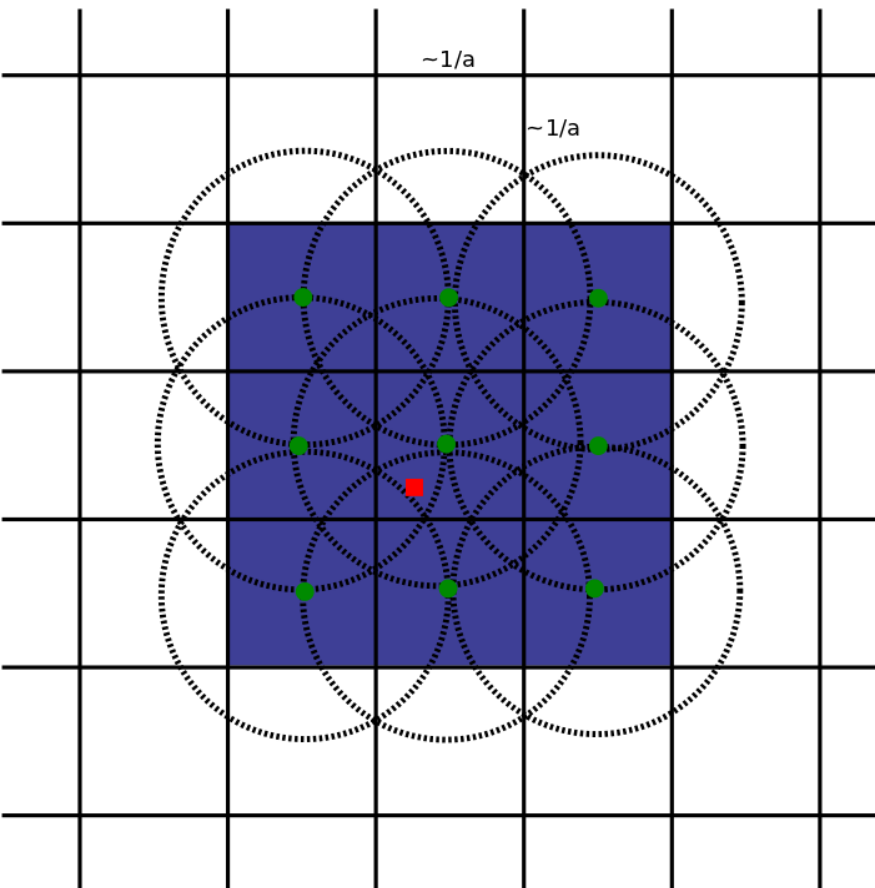
$$N(x, y) = \sum_i \omega_i g(x - x_i, y - y_i)$$



$$N(x, y) = \sum_i \omega_i g(x - x_i, y - y_i : \omega_{0,i})$$

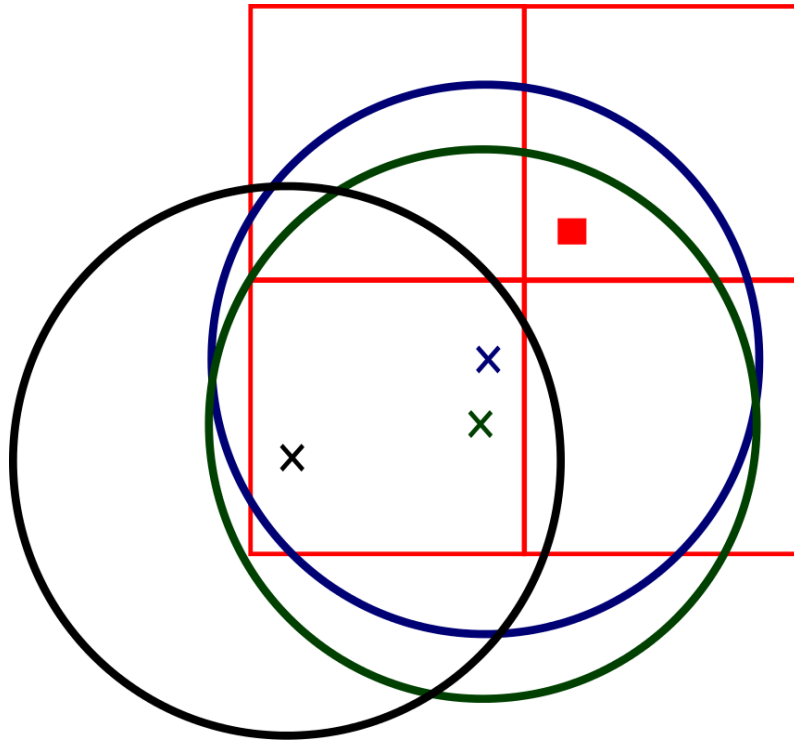


Division en cellules



- taille d'une cellule:
 - $\sim 1/a$: enveloppe gaussienne atteint 5% de sa valeur max
 - seulement évaluer l'influence des cellules voisines

Plusieurs impulsions par cellule



- Par cellule :
 - calcul nombre impulsions (suit une loi de Poisson)
 - pour chaque impulsion : calcul d'un nouveau centre (suit loi uniforme)
 - si le pixel d'origine est dans le cercle : Gabor dans le repère du cercle

Conclusion

- éviter l'aliasing
- continuité
- facilement paramétrable
- pré-calcul contre totalement procédural

Démo

Bibliographie

- *An image synthesizer*: Ken Perlin 1985
 - dl.acm.org/citation.cfm?id=325247
- *Improving Noise*: Ken Perlin 1985
 - mrl.nyu.edu/~perlin/doc/oscar.html
- *Wavelet Noise*: Robert L. Cook, Tony DeRose 2005
 - graphics.pixar.com/library/WaveletNoise/paper.pdf
- *Procedural Noise using Sparse Gabor Convolution*: Ares Lagae, Sylvain Lefebvre, Georges Drettakis, Philip Dutré 2009
 - graphics.cs.kuleuven.be/publications/LLDD09PNSGC/
- Code glsl : github.com/Rekamux/Noise-as-textures
- Code 2D : github.com/B-C/gminis/

Bonus : Gabor

